

## بررسی بیان ژن‌های *AISOS1* و *AINHX* در گیاه هالوفیت *Aeluropus littoralis* Parl تحت تنش شوری ناشی از کلرید سدیم

ولی‌اله قاسمی عمران<sup>۱\*</sup>، عبدالرضا باقری<sup>۲</sup>، قربانعلی نعمت‌زاده<sup>۳</sup> و امین میرشمسی<sup>۴</sup>

۱، دانشجوی دکتری بیوتکنولوژی کشاورزی، دانشکده کشاورزی دانشگاه فردوسی مشهد

۲، استادان و اعضای هیأت علمی گروه بیوتکنولوژی و به‌نژادی گیاهی دانشکده کشاورزی دانشگاه فردوسی مشهد

۳، استاد، عضو هیأت علمی پژوهشکده ژنتیک و زیست‌فناوری گیاهی طبرستان، دانشگاه کشاورزی و منابع طبیعی ساری

(تاریخ دریافت: ۹۰/۱۱/۱ - تاریخ تصویب: ۹۰/۱۲/۲)

## Evaluation of the Expression Pattern of *AISOS1* and *AINHX* Genes Under NaCl Stress in Halophyte Grass *Aeluropus littoralis* Parl.

V. GHASEMI OMRAN<sup>1\*</sup>, A. R. BAGHERI<sup>2</sup>, GH. NEMATZADEH<sup>3</sup> AND A. MIRSHAMSI<sup>4</sup>

1, Ph.D. Student of Department of Biotechnology and Plant Breeding, Faculty of Agriculture, Ferdowsi University of Mashhad, Iran, 2, 4, Professors, Department of Biotechnology and Plant Breeding, Faculty of Agriculture, Ferdowsi University of Mashhad, Iran, 3, Professor, Genetics & Agricultural Biotechnology Institute of Tabarestan (GABIT), Sari University of Agricultural Sciences and Natural Resources, Iran.

(Received: Jan. 21, 2012 - Accepted: Feb. 21, 2012)

### Abstract

### چکیده

Salinity, predominantly NaCl, limits plant growth and impairs agricultural productivity. In higher plants, Na<sup>+</sup> efflux and compartmentalization are achieved by Na<sup>+</sup>/H<sup>+</sup> antiporters located in both the plasma and vacuolar membranes. Here we investigated the expression pattern of the genes *AINHX* and *AISOS1* under 250 mM NaCl treatment after 6h, 1, 3, 8 and 17 days time intervals by Real Time-PCR technique. The transcript levels of *AINHX* and *AISOS1* were up-regulated due to salt stress in all tissues. The *AISOS1* expression remarkably increased in leaves after 6 h and the *AINHX* transcript abundance reached the maximum level after 24 h. In node and internode tissues, the transcript levels of *AINHX* and *AISOS1* increased sharply 24 h after salt treatment and then gradually decreased within 3 and 8 days and finally after 17 days reached a steady-state in which the mRNA content was similar to that of the control plants. The transcript abundance of both genes in roots slightly increased upon salt treatment and after 3 days reached their maximum levels and their expression continued until day 8 days and then decreased to a basal expression similar to control for *AINHX* gene but in case of *AISOS1*, decreased to reach a new steady-state in which the mRNA content was about 2-fold that of the control plants.

شوری و به‌طور عمده کلرید سدیم، از رشد گیاهان جلوگیری نموده و سبب کاهش تولیدات کشاورزی می‌گردد. در گیاهان عالی دفع و حجره‌بندی سدیم به‌واسطه آنتی‌پورترهای موجود در غشاهای پلاسمایی و واکونولی انجام می‌شود. در این مطالعه، الگوی بیان ژن‌های *AINHX* و *AISOS1* در پاسخ به تیمار شوری ۲۵۰ میلی‌مولار کلرید سدیم در زمان‌های ۶ ساعت، ۱، ۳، ۸ و ۱۷ روز پس از اعمال تنش با استفاده از تکنیک Real Time-PCR در گیاه *Aeluropus littoralis* مورد بررسی قرار گرفت. سطوح نسخه‌برداری دو ژن در پاسخ به تنش در همه بافت‌ها افزایش یافت. بیان ژن *AISOS1* در بافت برگ پس از ۶ ساعت افزایش یافت و بیان ژن *AINHX* پس از ۲۴ ساعت از اعمال تنش به بالاترین میزان خود رسید. در بافت گره و میانگره سطوح نسخه‌برداری هر دو ژن، ۲۴ ساعت پس از اعمال تنش به شدت افزایش یافت و سپس در ۳ و ۸ روز بعد از اعمال تنش به تدریج کاهش یافت تا در نهایت ۱۷ روز پس از تنش به حالت پایدار برابر با شاهد (بدون تنش) بازگشت. میزان بیان هر دو ژن در بافت‌های ریشه به آهستگی بعد از اعمال تنش افزایش یافت و پس از ۳ روز به میزان حداکثر رسید و این میزان بیان تا ۸ روز پس از تنش ادامه یافت و در ژن *AINHX* پس از ۱۷ روز به حالت پایدار برابر با شاهد بازگشت، در حالی که در مورد ژن *AISOS1* پس از ۱۷ روز همچنان بیان دو برابر شاهد بود.

**Keywords:** Salt stress, *Aeluropus littoralis*, *AISOS1*, *AINHX*, Gene expression

**واژه‌های کلیدی:** تنش شوری، *Aeluropus littoralis*، *AISOS1*، *AINHX*، بیان ژن

## مقدمه

شوری و به‌طور عمده کلرید سدیم، رشد کلی گیاهان را محدود نموده و سبب کاهش تولید در محصولات کشاورزی می‌گردد. در بسیاری از گیاهان به‌ویژه غلات، یون سدیم علت اصلی آسیب ویژه یونی محسوب می‌شود (Tester and Davenport, 2003). به‌دلیل این‌که سدیم فراوان‌ترین کاتیون در خاک‌های شور به‌شمار می‌رود و از لحاظ شیمیایی شباهت بسیار زیادی به یون پتاسیم دارد، سمیت سدیم در سیتوزول اغلب با کمبود پتاسیم همراه است (Pardo and Rubio, 2011). بسیاری از آنزیم‌های سیتوزولی با یون پتاسیم فعال می‌شوند و توسط یون سدیم مهار می‌گردند (Flowers and Yeo, 1995). سدیم در غلظت‌های بالا، به‌دلیل اثرات مضر روی جذب موادمعدنی و آب، فعالیت‌های آنزیمی، فتوسنتز و سوخت و ساز برای گیاه سمی است (Niu et al., 1995). حساسیت به شوری آنزیم‌های سیتوزولی هم در گیاهان حساس به شوری و هم در گیاهان شورپسند مشابه است و بیانگر این نکته است که نگهداری نسبت پتاسیم به سدیم در سطح غلظتی بالا، به‌عنوان پیش‌نیاز کلیدی برای رشد گیاه در شرایط شوری بالا به‌شمار می‌رود (Glenn et al., 1999). گیاهان از راهکارهای متفاوتی با هدف جلوگیری از تجمع سدیم اضافی استفاده می‌نمایند که شامل بهبود جذب یون توسط ریشه، بارگیری در آوندچوبی جهت توزیع در فواصل دور، بازجذب یون توسط پروتئین‌های پرتمایل انتقال‌دهنده پتاسیم (HKT) در بافت‌های گیاهی ویژه و حجره‌بندی واکوئلی در محور گیاه و در برگ‌های مسن‌تر می‌باشد (Niu et al., 1995; Zhu, 2001; Pardo and Rubio, 2011). در درون سلول‌های گیاهی غلظت‌های سدیم سیتوزولی عموماً توسط حجره‌بندی یا دفع سدیم در سطح غیرسمی نگه داشته می‌شود (Blumwald, 2000). در محیط‌های شور، حجره‌بندی یون‌هایی که به‌طور بالقوه برای سوخت و ساز سلولی آسیب‌رسان هستند (به‌طور مثال کلرید و

سدیم) راهکار مؤثری جهت سمیت‌زدایی یونی فراهم می‌آورد و در عین حال نسبت بالای پتاسیم به سدیم را در سیتوزول حفظ می‌کند. به‌علاوه، انباشتگی یون‌ها در داخل واکوئل فشار اسمزی در جهت بهبود جذب آب را فراهم می‌نماید (Pardo and Rubio, 2011). آنتی‌پورترهای واکوئلی سدیم/پروتون پروتئین‌های غشایی هستند که تبادل سدیم را در مقابل پروتون در تونوپلاست تحت گرادیانت الکتروشیمیایی پروتون تولیدشده توسط H-ATPase و H-PPiase کاتالیز می‌کنند (Barkla and Blumwald, 1991; Yamaguchi et al., 2003). بیش بیان ژن آنتی‌پورتر واکوئلی سدیم/پروتون گیاه آرآبیدوپسیس (*AtNHX1*) منجر به افزایش مقاومت به شوری در گیاهان تراریخته کلم (Yamaguchi et al., 2003)، گوجه (Zhang et al., 2004) شده است. از طرف دیگر، مسیر وابسته به کلسیم (SOS) که تنظیم‌کننده تعادل یونی سدیم و پتاسیم و انتقال دور برد سدیم می‌باشد، در گیاه آرآبیدوپسیس گزارش شده است. در مسیر SOS پروتئین متصل‌شونده به کلسیم یا SOS3 سیگنال تنش شوری را دریافت و منتقل می‌نماید. SOS3 پروتئین SOS2 را فعال نموده و به‌سمت غشای پلاسمایی هدایت می‌نماید تا فسفریلاسیون ترانسپورتر سدیمی SOS1 توسط کمپلکس SOS2-SOS3 فراهم شود (Qiu et al., 2002; Zhu, 2003). پروتئین آنتی‌پورتر سدیم/پروتون SOS1، پروتئین غشای پلاسمایی ۱۲۷ کیلودالتونی با ۱۲ دامین فراغشایی فرضی در انتهای N و دنباله بلند سیتوپلاسمی آب‌دوست در انتهای C می‌باشد (Shi et al., 2000). یکی از کارکردهای آنتی‌پورتر سدیم/پروتون در غشای پلاسمایی دفع سدیم از سلول‌هاست (Blumwald, 2000). ژن‌های *SOS1* در گیاهان حساس به شوری نظیر برنج (*OsNHAI*) (Zhou et al., 2006; and *OsSOS1*) (Martinez-Atienza et al., 2007) گندم نانواپی

زراعی مهم به لحاظ اقتصادی مورد استفاده قرار بگیرد. این تحقیق با هدف بررسی بیان ژن‌های آنتی‌پورتر غشایی و واکوئلی تحت تنش شوری ناشی از کلرید سدیم با استفاده از تکنیک Real Time-PCR صورت پذیرفته است.

## مواد و روش‌ها

### مواد گیاهی و شرایط رشد

بذرهای گیاه آلوروپوس از رویشگاه‌های طبیعی آن در شهر اصفهان جمع‌آوری شده و درون ماسه شسته‌شده تحت شرایط دوری روشنایی ۱۶ ساعت، دمای روز/شب  $25/28^{\circ}\text{C}$  و رطوبت نسبی ۶۰ تا ۸۰ درصد در گلخانه پژوهشکده ژنتیک و زیست‌فناوری کشاورزی طبرستان کشت شدند. گیاهچه‌ها هر سه روز یک بار با محلول غذایی هوگلند ۱/۲ آبیاری شدند. پس از یک ماه، گیاهچه‌ها به گلدان‌های ۲۰ لیتری حاوی ۱/۲ هوگلند که توسط یک ورقه یونولیت منفذدار پوشانده شده و با استفاده از پمپ آکواریومی هوادهی می‌شدند، انتقال یافتند.

### جداسازی ژن *AISOSI* تجزیه و تحلیل توالی

گیاهچه‌های دو ماهه با محلول ۱/۲ هوگلند حاوی ۳۰۰ میلی‌مولار کلرید سدیم به مدت ۳ روز مورد تیمار قرار گرفتند. سپس RNA کل با استفاده از کیت Qiagen RNeasy Plant Mini شرکت Qiagen استخراج شد. در مراحل استخراج RNA از هضم DNase روی ستون (On-Column DNase Digestion) استفاده شد. جهت ساخت رشته اول cDNA از کیت سنتز رشته اول cDNA شرکت Fermentas استفاده شد. PCR نسخه‌برداری معکوس با استفاده از آغازگرهای دجنره زیر انجام پذیرفت:

آغازگر (5'-  
GCTGCR TTTCTYCGYGCWCATA-3')  
و آغازگر برگشت  
(5'- CCAGTTGGCYTTGARCCYTC-3')

(Xu et al. 2008) (*TaSOSI*)  
*Phragmitesaustralis* (*PhaNHA1-u*)  
(Takahashi et al. 2009) و همچنین گیاهان  
*Thellungiella halophila* نظیر  
*Cymodocea* (*ThSOSI*) (Oh et al. 2007)  
(*CnSOS1B* و *CnSOS1A*) *nodosa*  
*Chenopodium* (Garcia de bla et al. 2007)  
(*Maughan* (*cqSOS1B* و *cqSOS1A*) *quinoa*  
*Phragmitesaustralis* و et al. 2009)  
(*PhaNHA1-n*) (Takahashi et al. 2009)  
شناسایی شده است. از آنجایی که گیاهان هالوفیت  
تک‌لیه قادر به رشد و تحمل شرایط شوری بالا  
هستند، می‌توانند به‌عنوان بهترین ابزار جهت درک  
اساس مولکولی آنتی‌پورترها به‌شمار آمده و نقش  
احتمالی آن‌ها را در مقاومت به شوری آشکار سازند.  
به‌علاوه از آنجایی که بسیاری از گیاهان مهم از  
لحاظ کشاورزی گیاهان تک‌لیه گلیکوفیت هستند،  
مطالعه ژن‌های ویژه از گیاهان خویشاوند نزدیک  
می‌تواند به‌عنوان روش مؤثری جهت بهبود مقاومت  
به شوری این گونه محصولات با استفاده از  
فناوری‌های ژنتیک نوین باشد. *Aeluropus*  
*littoras* Parl. یک گیاه هالوفیت تک‌لیه و چندساله  
می‌باشد که بومی ایران بوده و می‌تواند کلرید سدیم تا  
میزان ۶۰۰ میلی‌مولار را تحمل نماید. این گیاه از  
لحاظ فتوسنتزی گیاهی C4 محسوب شده و در  
خاک‌های شور ساحلی و بیابانی با بارندگی کمتر از  
۲۰۰ میلی‌متر در سال رشد می‌یابد (Liu. 1994;  
Gulzar et al. 2003; Li and Wang, 2004).  
این گیاه دیپلوئید بوده و دارای ژنوم نسبتاً کوچک در  
حدود ۳۴۲ مگا جفت باز می‌باشد. علاوه بر مقاومت  
به شوری، آلوروپوس به‌عنوان گیاهی مقاوم به  
خشکی و گرما نیز محسوب می‌شود (Zouari et al.  
2007). با وجود این شرایط آلوروپوس می‌تواند  
به‌عنوان منبع ژنتیکی غنی جهت درک مکانیزم‌های  
مرتبط با مقاومت به شوری، خشکی و گرما در جهت  
بهبود مقاومت به تنش‌های غیرزیستی در گیاهان

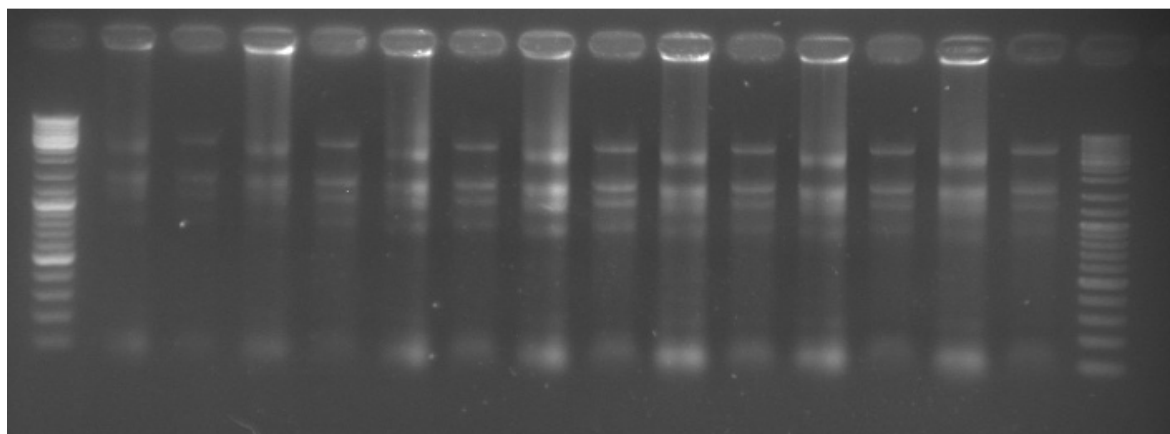
آغازگر UPM موجود کیت مورد استفاده قرار گرفت. قطعه PCR ۲ کیلو جفت‌بازی به‌دست‌آمده به درون pTZ57R/T شرکت Fermentas همسانه‌سازی شده و به‌طور کامل توالی‌یابی گردید. برای 5' RACE-Ready cDNA از ۵µl، 5' RACE به‌عنوان الگو به‌همراه آغازگر GSP1 و آغازگر UPM موجود کیت مورد استفاده قرار گرفت. محصول PCR خالص‌سازی و توالی‌یابی شد. توالی‌های به‌دست‌آمده از 5' RACE و 3' RACE در کنار هم قرار گرفت تا طول کامل ژن *AISOS1* به‌دست آید (این توالی در کتابخانه داده‌های NCBI تحت شماره دستیابی HQ329792 ثبت گردید).

#### بررسی بیان

جهت ارزیابی الگوی تغییر یافته ژن‌های *AISOS1* و *AINHX* پس از در معرض گرفتن گیاه در شرایط تنش شوری آزمایش Real Time PCR صورت پذیرفت. جهت اعمال تنش از روش پاساژدهی (اعمال تنش به‌صورت تدریجی) استفاده شد. به این ترتیب که ابتدا گیاهان تحت تنش ۱۰۰mM قرار گرفتند و سپس ۲۴ ساعت بعد ۱۵۰mM دیگر به غلظت اولیه اضافه شد. نمونه‌برداری از گیاهان تنش‌یافته صفر و ۶ ساعت، و همچنین ۱، ۳، ۸ و ۱۷ روز پس از اعمال تنش صورت پذیرفت. RNA کل از نمونه‌های فریز شده برگ، ریشه و گره و میان‌گره گیاهان شاهد و گیاهان تحت تنش با استفاده از کیت Trizol (شرکت Invitrogen) مطابق با دستورالعمل شرکت صورت پذیرفت. یکپارچگی و صحت RNA استخراج شده با استفاده از الکتروفورز روی ژل آغاز ارزیابی شد. قبل از نسخه‌برداری معکوس جهت حذف باقیمانده احتمالی dDNA ژنومی نمونه‌های RNA با آنزیم دی‌اکسی‌ریبونوکلاز ۱ تیمار شدند (شکل ۱).

جهت ساخت رشته اول cDNA از کیت سنتز رشته اول cDNA شرکت Fermentas با نسخه‌برداری معکوس ۲µg RNA در حجم نهایی

که بر اساس نواحی حفاظت‌شده آنتی‌پورتر غشایی سدیم/پروتوناز گیاهان دیگر طراحی شده بود. سپس این دو آغازگر دجنره جهت تکثیر PCR با استفاده از شرایط چرخه دمایی زیر به واکنش PCR اضافه شدند: واسرشته‌سازی اولیه ۵ دقیقه‌ای در ۹۵°C و به دنبال آن ۳۵ چرخه واسرشته‌سازی در ۹۵°C به مدت ۴۵ ثانیه و اتصال در ۵۵°C به مدت ۴۵ ثانیه و بسط در ۷۲°C به مدت ۴۵ ثانیه صورت پذیرفت. محصول تکثیر شده روی ژل آغاز ۱/۵٪ و با استفاده از اتیدیوم بروماید نمایان‌سازی شده سپس از روی ژل آغاز جدا و خالص‌سازی شده (با استفاده از کیت High Pure PCR Product Purification شرکت Roche مطابق دستورالعمل) و با استفاده از کیت InsTAclone™ PCR Cloning مطابق دستورالعمل شرکت سازنده (Fermentas) به درون وکتور pTZ57R/T شرکت Fermentas متصل شده و توالی‌یابی گردید. براساس این توالی ۴۵۰ جفت بازی، چهار آغازگر دیگر با استفاده از نرم‌افزار CLCMainWorkbench طراحی شد تا cDNA با طول کامل با استفاده از کیت Smarter RACE از شرکت Clontech تکثیر شود: آغازگرهای رفت شامل 5'-GATGTTTCGAGTTACATTCCCACAG GTGC-3' و آغازگرهای برگشت شامل: 5'-GSP1 CGGTGGTGGTTTCGTCTTCAACTTC TTC-3' و 5'-NGSP1 CTGTTTCAGGCAGCGCCCCAAC-3' بودند. ساخت رشته اول cDNA با استفاده از ۱µg RNA کل و آغازگرهای فراهم شده توسط کیت براساس دستورالعمل شرکت سازنده صورت پذیرفت. برای 3' RACE-Ready از ۵µl، 3' RACE به‌عنوان الگو به‌همراه آغازگر GSP2 و



شکل ۱- الکتروفورز cDNA کل به ترتیب قبل و بعد از تیمار DNase روی ژل آگارز ۱/۲ درصد در نمونه بافت برگ. ستون اول و آخر مربوط به نشانگر استاندارد مولکولی ۱۰۰ جفت بازی شرکت فرمتاز می‌باشد.

واکنش ۲۰ μl مطابق دستورالعمل شرکت استفاده شد. ترکیب واکنش PCR شامل ۱ μl از cDNA تا ۸ برابر رقیق شده، ۵ μl از QuantiFast SYBR Green PCR Master Mix (شرکت Qiagen) ۱ μM از هر آغازگر اختصاصی ژن در ۱۰ μl حجم نهایی واکنش بود. برای هر جفت آغازگر واکنش PCR با شاهد بدون الگو نیز انجام شد. آغازگرهای اختصاصی *AIOSI* که براساس توالی جداسازی شده طراحی شدند به قرار زیر بود:

آغازگر رفت (5'- CAGCTTACTGGGGAATGCTC-3') و آغازگر برگشت (5'- ACTTGGGAACTGGACTGG-3') که باندی به اندازه ۱۴۸ جفت باز را تکثیر می‌کند. آغازگرهای اختصاصی *AINHX* که براساس توالی موجود در NCBI به شماره دستیابی AY825361 طراحی شدند به قرار زیر بود: آغازگر رفت (5'- GTTGTGAATGATGCCACGTC-3') و آغازگر برگشت (5'- ATCCAGCAAACACTCCAAGG-3') که باندی به اندازه ۱۴۷ جفت باز را تکثیر می‌کند. جفت آغازگر رفت (5'- TTGCTGGCCGAGACCTTAC-3') و برگشت (5'-GGCGAGCTTTTCCTTGATG-3')

جهت تکثیر ژن اکتین آلورپوس (که باندی به اندازه ۱۱۳ جفت باز را تکثیر می‌کند) به عنوان کنترل داخلی به کار رفت. واکنش‌های PCR مطابق دستورالعمل کیت به این شرح انجام شد: مرحله واسرشته‌سازی اولیه ۵ دقیقه‌ای در ۹۵°C و به دنبال آن ۴۰ چرخه واسرشته‌سازی در ۹۵°C به مدت ۱۰ ثانیه و اتصال و بسط تلفیقی در ۶۰°C به مدت ۳۰ ثانیه بود. جهت اطمینان از صحت تکثیر محصولات اختصاصی چرخه‌های منحنی ذوب با پارامترهای زیر در ادامه صورت پذیرفت: ۹۵°C به مدت ۱ دقیقه، ۸۰ چرخه ۵۵°C به مدت ۱۰ ثانیه با ۰/۵°C افزایش دما در هر چرخه. منحنی ذوب با استفاده از فلوروسنت سایبرگرین هیچ ساختار سنجاق‌سری یا شکل‌گیری لوپ را در واکنش PCR شناسایی نکرد. محصولات تکثیر Real time PCR بر روی ژل آگارز بارگذاری شد تا وجود باند صحیح و منفرد تایید گردد. سه تکرار برای هر آزمایش در نظر گرفته شد. سیگنال‌های فلوروسنت در هر مرحله پلیمریزاسیون در دستگاه BioRAD C1000™ Thermal Cycler شرکت BioRAD جمع‌آوری شد. مقادیر آستانه‌ای (C<sub>T</sub>) توسط نرم‌افزار داخلی دستگاه مطابق فرمول  $2^{-(\Delta CT \text{ Target} - \Delta CT \text{ actin})}$  با مقایسه مقادیر C<sub>T</sub> ژن اکتین و ژن‌های *AIOSI* و *AINHX* حاصل از cDNA مشابه به عنوان الگو محاسبه شد.

واکنش ۲۰ μl مطابق دستورالعمل شرکت استفاده شد. ترکیب واکنش PCR شامل ۱ μl از cDNA تا ۸ برابر رقیق شده، ۵ μl از QuantiFast SYBR Green PCR Master Mix (شرکت Qiagen) ۱ μM از هر آغازگر اختصاصی ژن در ۱۰ μl حجم نهایی واکنش بود. برای هر جفت آغازگر واکنش PCR با شاهد بدون الگو نیز انجام شد. آغازگرهای اختصاصی *AIOSI* که براساس توالی جداسازی شده طراحی شدند به قرار زیر بود:

آغازگر رفت (5'- CAGCTTACTGGGGAATGCTC-3') و آغازگر برگشت (5'- ACTTGGGAACTGGACTGG-3') که باندی به اندازه ۱۴۸ جفت باز را تکثیر می‌کند. آغازگرهای اختصاصی *AINHX* که براساس توالی موجود در NCBI به شماره دستیابی AY825361 طراحی شدند به قرار زیر بود: آغازگر رفت (5'- GTTGTGAATGATGCCACGTC-3') و آغازگر برگشت (5'- ATCCAGCAAACACTCCAAGG-3') که باندی به اندازه ۱۴۷ جفت باز را تکثیر می‌کند. جفت آغازگر رفت (5'- TTGCTGGCCGAGACCTTAC-3') و برگشت (5'-GGCGAGCTTTTCCTTGATG-3')

## نتایج و بحث

فرایندهای انتقالی که خروج یون از سلول را تنظیم می‌نمایند از یک سو و حجره‌بندی واکوئلی از سوی دیگر، در کاهش تجمع سدیم در سیتوزول گیاهی نقش حیاتی دارند. در گیاهان عالی دفع و حجره‌بندی سدیم به‌واسطه آنتی‌پورترهای موجود در غشاهای پلاسمایی و واکوئلی انجام می‌شود. بیش بیان آنتی‌پورتر سدیم/پروتون واکوئلی AtNHX1 و آنتی‌پورتر سدیم/پروتون غشای پلاسمایی At SOS1 گیاه آرابیدوپسیس مقاومت به شوری را در گیاهان تراریخته به دنبال داشته است (Pardo *et al.* 2011). این موضوع منعکس‌کننده نقش کلیدی آنتی‌پورترهای سدیم/پروتون در مقاومت به شوری می‌باشد. به‌همین دلیل این تحقیق با هدف بررسی بیان این دو ژن مهم در گیاه شورپسند آلورپوس صورت گرفته است تا عکس‌العمل این دو ژن در پاسخ به شوری بررسی و مطالعه گردد.

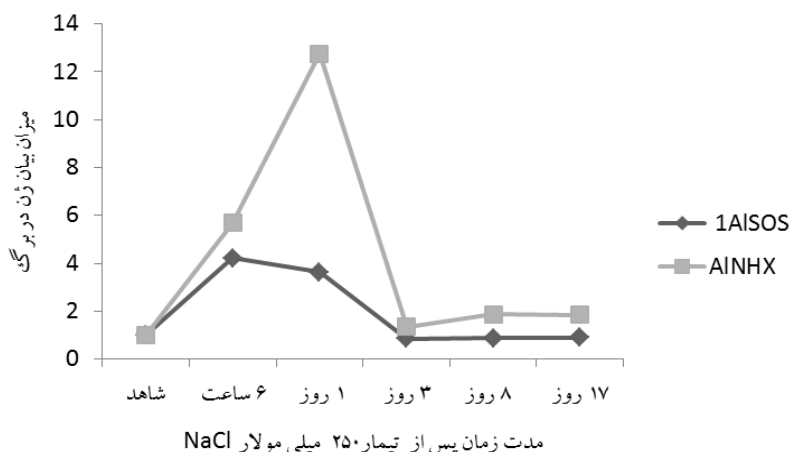
طول کامل cDNA ی SOS1 گیاه آلورپوس با استفاده از RACE PCR به‌دست آمد (شماره دستیابی HQ329792). توالی نوکلئوتیدی با طول ۳۹۸۱ جفت باز متشکل از ۲۳۱ جفت باز ناحیه ترجمه‌نشده ۵' (5' UTR) و ۳۱۰ جفت باز ناحیه ترجمه‌نشده ۳' (3' UTR) می‌باشد. چارچوب قرائت آزاد (ORF) فرضی ژن *ALSOS1* پروتئینی با ۱۱۴۶

آمینواسید کد می‌نماید. پروتئین پیش‌بینی‌شده به‌ترتیب دارای ۶۱، ۷۷ و ۸۲ درصد مشابهت در توالی آمینواسیدی با گیاهان آرابیدوپسیس، برنج و *Phragmites australis* بوده و ویژگی‌های عمومی مشترکی از جمله ۱۲ ناحیه فراغشایی، دم طولیل سیتوپلاسمی، دامین تبادل سدیم/پروتون و دامین فرضی اتصال نوکلئوتید حلقوی که در مرکز دم طولیل انتهایی C قرار دارد، می‌باشد (مطابق نرم‌افزار TMHMM)

(<http://www.cbs.dtu.dk/services/TMHMM/>).

این داده‌ها نشان می‌دهد که *ALSOS1* یک آنتی‌پورتر سدیم/پروتون در غشای پلاسمایی می‌باشد که می‌تواند نقش مهمی در مقاومت به شوری گیاه آلورپوس داشته باشد.

در رابطه با ژن *AINHX* میزان نسبی mRNA در برگ‌های گیاه مقاوم به شوری آلورپوس با افزایش زمان تحت تنش شوری ۲۵۰ میلی‌مولار به‌شدت افزایش پیدا کرد. به این ترتیب که ۶ ساعت و ۲۴ ساعت پس از تنش به بالاترین میزان خود رسید (به‌ترتیب ۶ و ۱۲ برابر). در ۳، ۸ و ۱۷ روز پس از اعمال تنش میزان بیان به حالت عادی خود یعنی به میزان قبل از تنش بازگشت.



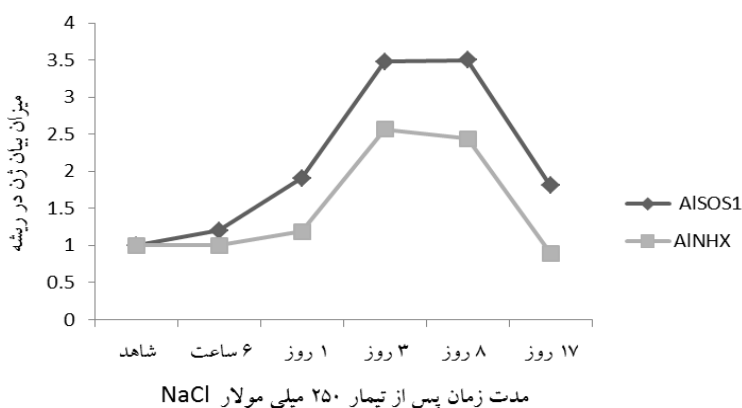
شکل ۲- فراوانی نسبی mRNA ژن‌های *ALSOS1* و *AINHX* در برگ‌های گیاه آلورپوس در پاسخ به تنش شوری

برابر). مشابه با ژن *AINHX* بیان این ژن نیز در ۳، ۸ و ۱۷ روز پس از اعمال تنش به حالت معمول برگشت (شکل ۲).

در ریشه گیاهان آلوروپوس بیان ژن *AINHX* تحت تنش شوری ۲۵۰ میلی‌مولار تا یک روز پس از تنش تغییری پیدا نکرد. پس از گذشت ۳ روز از اعمال تنش بیان این ژن تا ۲/۵ برابر افزایش یافت و این افزایش بیان تا ۸ روز پس از تنش بدون تغییر ادامه یافت و در ۱۷ روز پس از تنش به حالت عادی خود بازگشت. در مورد *AISOSI* بیان ژن در روز اول پس از تنش حدوداً دو برابر شد و در روز سوم پس از تنش به ۳/۵ برابر حالت عادی رسید و تا ۸ روز پس از تنش این بیان بالا ادامه داشت و در روز ۱۷ پس از تنش مشابه حالت یک روز پس از تنش در حدود دو برابر بیان شاهد ثابت باقی ماند (شکل ۳).

گیاهچه‌های یک‌ماهه به گلدان‌های ویژه حاوی محلول ۱/۲ هوگ‌لند که به‌خوبی هوادهی می‌شدند منتقل شده و پس از ۳ هفته تحت تنش ۲۵۰ میلی‌مولار کلرید سدیم قرار گرفتند. بیان ژن‌های *AINHX* و *AISOSI* در گیاهان شاهد بدون اعمال تنش و گیاهان تنش‌یافته ۶ ساعت، ۱، ۳، ۸ و ۱۷ روز پس از اعمال تنش با استفاده از روش *real-time PCR* مطالعه گردید. میزان بیان در ابتدای تیمار شوری (شاهد بدون اعمال تنش) روی عدد ۱ تنظیم شد. سطوح بیان سایر زمان‌های نمونه‌برداری به‌عنوان درصدی از میزان بیان در ابتدای تیمار شوری بیان شده است.

در مورد ژن *AISOSI* نیز افزایش بیان پس از اعمال تنش مشاهده شد. به این صورت که پس از ۶ و ۲۴ ساعت به بالاترین میزان خود رسید (حدود ۴



شکل ۳- فراوانی نسبی mRNA ژن‌های *AINHX* و *AISOSI* در ریشه‌های گیاه آلوروپوس در پاسخ به تنش شوری. شرایط آزمایشی مشابه شرایط ذکر شده در بافت برگی بوده است.

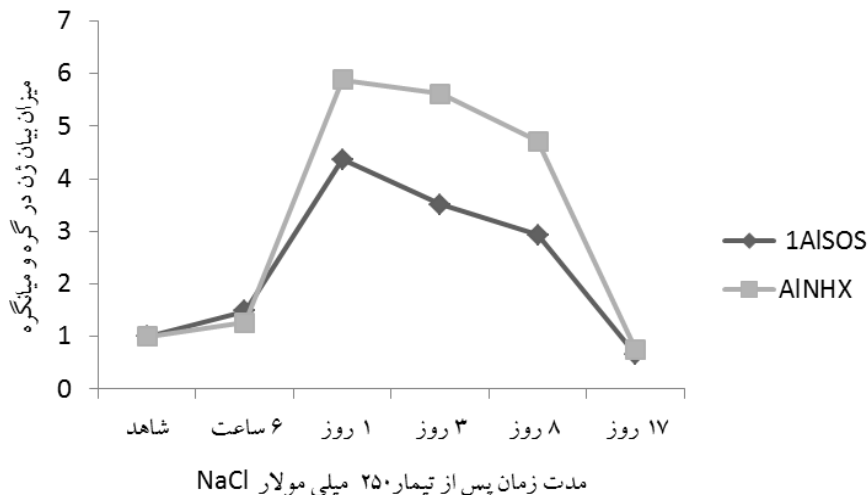
اول، سوم و هشتم پس از تنش بیان این ژن با روندی رو به کاهش به ترتیب ۴/۵، ۳/۵ و ۳ برابر شاهد بود. در روز ۱۷ بیان به حالت عادی مشابه شاهد بازگشت. این افزایش بیان در ژن‌های *AINHX* و *AISOSI* در نمونه‌های مختلف گیاه آلوروپوس در تکرارهای بیولوژیکی آزمایش تکرارپذیر بوده است (شکل ۴).

افزایش بیان ژن *AINHX* در ریشه‌ها و شاخ و

در بافت گره و میانگره در ژن *AINHX* تا ۶ ساعت پس از تنش تغییر چندانی در بیان ژن مشاهده نشد اما ۲۴ ساعت پس از تنش بیان به حدود ۵ تا ۶ برابر رسید و این بیان تا ۸ روز پس از تنش به حالت ثابت باقی ماند اما در روز ۱۷ پس از تنش به حالت معمول خود یعنی مشابه شاهد بازگشت. در مورد ژن *AISOSI* بیان ژن ۶ ساعت پس از تنش تغییر چندانی پیدا نکرد و به حدود ۱/۵ برابر رسید. در روز

(Fukuda et al. 1999; Hamada et al. 2001) به‌عنوان مثال در گیاه *Atriplex gmelini* بیان ژن *AgNHX1* پس از اعمال تیمار ۱۰۰ و ۴۰۰ میلی‌مولار کلرید سدیم در برگ‌های گیاه به‌ترتیب ۳ تا ۸ برابر افزایش یافت. در ریشه‌ها نیز بیان mRNA در ۴۰۰ میلی‌مولار شدت بیشتری داشت. در تحقیق حاضر افزایش بیان ژن *NHX1* در همه بافت‌های مورد مطالعه مشاهده می‌شود و نشان‌دهنده این نکته است که این ژن می‌تواند در مقاومت به شوری گیاه آلروپوس نقش داشته باشد.

برگ گیاه آلروپوس در پاسخ به تیمار کلرید سدیم توسط Zhang et al. (2008) نیز گزارش شده است. نتایج آن‌ها نشان داد که سطوح نسخه‌برداری این ژن با اعمال تنش شوری ۴۰۰ میلی‌مولار کلرید سدیم افزایش یافت و پس از ۶ ساعت از اعمال تنش شوری در ریشه بیان به‌شدت افزایش پیدا کرد در حالی‌که در شاخ و برگ‌ها افزایش کندتری داشت. در گیاهان آراییدوپسیس، برنج و *Atriplex gmelini* نیز افزایش بیان ژن *NHX1* پس از اعمال تنش شوری گزارش شده است (Gaxiola et al. 1999).



شکل ۴- فراوانی نسبی mRNA های *AINHX* و *AISOS1* در گره و میانگره‌های گیاه آلروپوس در پاسخ به تنش شوری. شرایط آزمایشی مشابه شرایط ذکر شده در بافت برگی بوده است.

معرض تنش ۲۰۰ میلی‌مولار کلرید سدیم قرار گرفته بودند، سطح بیان ژن *TaSOS1* در ریشه پس از ۳ ساعت از تنش به بیشترین مقدار خود یعنی ۵ برابر زمان بدون تنش رسید و ۹ ساعت بعد به سطح پایه بازگشت. پس از ۲۴ ساعت دوباره به‌صورت ثابتی بالا رفت تا اینکه ۴۸ ساعت پس از تنش به حدود دو برابر بدون تنش رسید. برعکس در بافت برگی سطح بیان به جز افزایش موقتی که در ۹ ساعت پس از تنش نشان داده بود تقریباً ثابت باقی ماند. این پاسخ در مقایسه با ریشه تأخیر داشت (Xu et al. 2008). در برنج تیمار شوری ۱۰۰ میلی‌مولار تجمع

افزایش بیان ژن *NHAI* و یا *SOS1* نیز در گیاهان مختلف گزارش شده است. در آنالیز ژل بلات RNA در گیاه آراییدوپسیس، mRNA ژن *SOS1* بدون اعمال تنش شوری شناسایی شد و با اعمال تنش بیان آن هم در ریشه و هم در ساقه افزایش یافت. با این حال بیان این ژن با تیمار سرما و ABA تغییراتی نشان نداد (Shi et al. 2000). در گیاه هالوفیت *Puccinellia tenuiflora* نسخه‌های ژن آنتی‌پورتر سدیم/پروتون غشایی *PtNHAI* در پاسخ به تنش کلرید سدیم ۱۵۰ میلی‌مولار افزایش یافت (Wang et al. 2009). در گیاهان گندمی که در



شد. همچنین پس از اعمال تنش کلرید سدیم فراوانی نسخه‌های ژن *ALSOSI* در بافت‌های برگ، گره و میانگره بیشتر از ژن *AINHX* بود. درحالی‌که در بافت ریشه عکس این حالت مشاهده شد. به عبارتی دیگر پس از اعمال تنش بیان ژن *ALSOSI* شدت بیشتری داشت. بیان بالاتر ژن *ALSOSI* ممکن است به این دلیل باشد که این ژن مطابق تحقیقی که توسط Shi et al. (2000) صورت گرفته است به‌طور ترجیحی در سلول‌های اپیدرمی نوک‌ریشه و سلول‌های پارانشیمی مرز چوب/سیمپلاست ساقه و برگ‌ها بیان می‌شود و وظیفه دفع سدیم در این مناطق را به‌عهده دارد. در مجموع نتایج مطالعه حاضر نشان می‌دهد که با توجه به روند بیان مشاهده شده در گیاه هالوفیت آلوروپوس هر دو ژن *AINHX* و *ALSOSI* می‌توانند در تحمل به تنش شوری در این گیاه به طرق مختلف نقش مؤثری داشته باشند. بررسی‌های بیان با استفاده از روش مذکور حاکی از افزایش بیان این آنتی‌پورتر در پاسخ به تنش شوری بود که نشان‌دهنده اهمیت این آنتی‌پورتر در مقاومت این گیاه به تنش شوری می‌باشد.

### سپاسگزاری

از معاونت پژوهش و فناوری دانشگاه فردوسی مشهد و پژوهشکده ژنتیک و زیست‌فناوری کشاورزی طبرستان دانشگاه کشاورزی و منابع طبیعی به‌دلیل فراهم‌سازی اعتبارات و امکانات آزمایشگاهی برای انجام این تحقیق تشکر و قدردانی می‌گردد.

### REFERENCES

Barkla BJ, Blumwald E (1991) Identification of a 170-kDa protein associated with the vacuolar Na/H antiporter of *Beta vulgaris*. Proc. Natl. Acad. Sci. USA. 88: 11177-11181.  
Blumwald E (2000) Sodium transport and

mRNA *SOS1* را در ریشه القاء نمود اما تأثیری در ساقه و برگ نداشت (Martínez-Atienza et al. 2007). بیان ژن *PhanHAI* در ریشه گیاهان نی حساس به شوری، پس از ۱۲ ساعت از تیمار کلرید سدیم به حداکثر مقدار خود رسید درحالی‌که در ریشه گیاهان نی مقاوم به شوری بعد از ۴۸ ساعت افزایش یافت و تا ۱۰ روز پس از تنش ثابت باقی ماند. در بخش‌های هوایی گیاه سطح نسخه‌برداری ژن *PhanHAI* در گیاهان مقاوم به شوری نی بالاتر از گیاهان حساس به شوری بود، گرچه بیان ژن *PhanHAI* پس از ۱۰ روز تنش در هر دو تقریباً یکسان بود (Takahashi et al. 2008). آنالیز وسترن بلات در گیاه *Populus euphratica* نشان داد که بیان *PeSOS1* تحت تنش شوری به‌طور قابل ملاحظه‌ای افزایش پیدا کرد و تا میزان ۵ تا ۱۰ برابر بیشتر از شاهد در برگ‌ها پس از تیمار با ۲۰۰ میلی‌مولار کلرید سدیم در ۲۴ و ۴۸ ساعت پس از تنش بیان داشت (Wu et al. 2007). در تحقیق حاضر سطوح نسخه‌برداری ژن‌های *AINHX* و *ALSOSI* در پاسخ به تنش کلرید سدیم در همه بافت‌ها افزایش یافت. میزان بیان هر دو ژن در بافت‌های ریشه به آهستگی بعد از اعمال تنش افزایش یافت و پاسخ به تنش در بافت ریشه روند کندتری نسبت به بافت‌های برگ، گره و میانگره داشت. به این معنی که در بافت ریشه ۳ روز پس از اعمال تنش میزان بیان به حداکثر مقدار خود رسید درحالی‌که در سایر بافت‌های مورد مطالعه ۶ تا ۲۴ ساعت پس از تنش شوری میزان حداکثر بیان دیده

salt tolerance in plants. Curr. Opin. Cell Biol. 12: 431-434.  
Flowers TJ, Yeo AR (1995) Breeding for salinity resistance in crop plants, where next? Aust. J. Plant Physiol. 22: 875-884.  
Fukuda A, Nakamura A, Tanaka Y

- (1999) Molecular cloning and expression of the  $\text{Na}^+/\text{H}^+$  exchanger gene in *Oryza sativa*. *Biochim. Biophys. Acta.* 1446: 149–155.
- Garciadebla B, Rosari H, Benito B (2007) Cloning of two SOS1 transporters from the seagrass *Cymodocea nodosa*. SOS1 transporters from *Cymodocea* and *Arabidopsis* mediate potassium uptake in bacteria. *Plant Mol. Biol.* 63: 479–490
- Gaxiola RA, Rao R, Sherman A, Grisafi P, Alper SL, Fink GR (1999) The *Arabidopsis thaliana* proton transporters, AtNhx1 and Avp1, can function in cation detoxification in yeast. *Proc. Natl. Acad. Sci. USA* 96: 1480–1485.
- Glenn E, Brown JJ, Blumwald E (1999) Salt-tolerant mechanism and crop potential of halophytes. *Crit. Rev. Plant Sci.* 18: 227–255.
- Gulzar S, Khan MA, Ungar IA (2003) Effects of salinity on growth, ionic content and plant-water status of *Aeluropus lagopoides*. *Commun. Soil Sci. Plant Anal.* 34: 1657–1668.
- Hamada A, Shono M, Xia T, Ohta M, Hayashi Y, Tanaka A, Hayakawa T (2001) Isolation and characterization of a  $\text{Na}^+/\text{H}^+$  antiporter gene from the halophyte *Atriplex gmelini*. *Plant Mol Biol.* 46: 35–42.
- Li MY, Liu YJ (1994) Halophytes of Yellow River Delta in north Shandong Province of China. *J. Qufu. Normal Univ.* 125–133.
- Martinez-Atienza J, Jiang XY, Garciaeblas B, Mendoza I, Zhu J K, Pardo JM, Quintero FJ (2007) Conservation of the salt overly sensitive pathway in rice. *Plant Physiol* 143:1001–1012.
- Maughan PJ, Turner TB, Coleman CE, Elzinga DB, Jellen EN, Morales JA, Udall JA, Fairbanks D J Bonifacio A (2009) Characterization of *Salt Overly Sensitive 1 (SOS1)* gene homoeologs in quinoa (*Chenopodium quinoa* Willd.). *Genome* 52: 647–657.
- Niu X, Bressan RA, Hasegawa PM, Pardo J M (1995) Ion homeostasis in  $\text{NaCl}$  stress environments. *Plant Physiol.* 109:735–742.
- Oh DH, Gong Q, Ulanov A, Zhang Q, Li Y, Ma W, Yun DJ, Bressan RA Bohnert HJ (2007) Sodium Stress in the Halophyte *Thellungiella halophila* and Transcriptional Changes in a *thsos1*-RNA Interference Line. *J. Integr. Plant. Biol.* 49: 1484–1496.
- Pardo JM, Rubio F (2011)  $\text{Na}^+$  and  $\text{K}^+$  Transporters in Plant Signaling. *Signaling and Communication in Plants.* 7: 65–98.
- Qiu QS, Guo Y, Dietrich MA, Schumaker KS, Zhu JK (2002) Regulation of SOS1, a plasma membrane  $\text{Na}^+/\text{H}^+$  exchanger in *Arabidopsis thaliana*, by SOS2 and SOS3. *Proc Natl Acad Sci. USA.* 99: 8436–8441.
- Shi H, Ishitani M, Kim C, Zhu JK (2000) The *Arabidopsis thaliana* salt tolerance gene *SOS1* encodes a putative  $\text{Na}^+/\text{H}^+$  antiporter. *Proc. Natl. Acad. Sci. USA.* 97: 6896–6901.
- Takahashia R, Liub S, Takano T (2009) Isolation and characterization of plasma membrane  $\text{Na}^+/\text{H}^+$  antiporter genes from salt-sensitive and salt-tolerant reed plants, *J Plant Physiol.* 166: 301–309.
- Tester M, Davenport R (2003).  $\text{Na}^+$  tolerance and  $\text{Na}^+$  transport in higher plants. *Ann. Bot.* 91:503–527.
- Wang R Z (2004) Plant functional types and their ecological responses to salinization in saline grasslands, Northeastern China. *Photosynthetica* 42: 511–519.
- Wang X, Yang R, Wang B, Liu G, Yang C, Cheng Y (2010) Functional characterization of a plasma membrane  $\text{Na}^+/\text{H}^+$  antiporter from alkali grass (*Puccinellia tenuiflora*) *Mol. Biol. Rep.* 38:4813–4822.
- Wu Y, Ding N, Zhao X, Zhao M, Chang

- Z, Liu J, Zhang L (2007) Molecular characterization of PeSOS1: the putative Na<sup>+</sup>/H<sup>+</sup> antiporter of *Populus euphratica*. *Plant Mol. Biol.* 65:1–11.
- Xu H, Jiang X, Zhan K, Cheng X, Chen X, Xue ZY, Zhi DY, Xue GP, Zhao YX, Xia GM (2004) Enhanced salt tolerance of transgenic wheat (*Triticum aestivum* L.) expressing a vacuolar Na<sup>+</sup>/H<sup>+</sup> antiporter gene with improved grain yield in saline soils in the field and a reduced level of leaf Na<sup>+</sup>. *Plant Sci.* 167: 849-859.
- Xu H, Jiang X, Zhan K, Cheng X, Chen X, Pardo JM, Cui D (2008) Functional characterization of a wheat plasma membrane Na<sup>+</sup>/H<sup>+</sup> antiporter in yeast. *Arch. Biochem. Biophys.* 473:8-15.
- Yamaguchi T, Apse MP, Shi H, Blumwald E (2003) Topological analysis of a plant vacuolar Na<sup>+</sup>/H<sup>+</sup> antiporter reveals a luminal C terminus that regulates antiporter cation selectivity. *Proc. Natl. Acad. Sci. USA.* 100:12510-12515.
- Zhang HX, Blumwald E (2001) Transgenic salt-tolerant tomato plants accumulate salt in foliage but not in fruit. *Nat. Biotechnol.* 19:765-768.
- Zhang GH, Su Q, An LJ, Wu S (2008) Characterization and expression of a vacuolar Na<sup>+</sup>/H<sup>+</sup> antiporter gene from the monocot halophyte *Aeluropus litoralis*. *Plant Physiol. Biochem.* 46: 117-126.
- Zhou GA, Jiang Y, Yang Q, Wang JF, Huang JI, Zhang HS (2006) Isolation and characterization of a new Na<sup>+</sup>/H<sup>+</sup> antiporter gene *OsNHA1* from rice (*Oryza sativa* L.). *DNA Seq.* 17: 24–30.
- Zouari N, Ben Saad R, Legavre Th, Azaza J, Sabau X, Jaoua M, Masmoudi K, Hassairi A (2007) Identification and sequencing of ESTs from the halophyte grass *Aeluropus litoralis*. *Gene.* 404: 61–69.
- Zhu JK (2001) Plant salt tolerance. *Trends Plant Sci.* 6: 66–71.
- Zhu JK (2003) Regulation of ion homeostasis under salt stress. *Curr. Opin. Plant Biol.* 6: 441-445.

